

การออกแบบสร้างเครื่องเพรสขึ้นรูปโลหะแบบไฮดรอลิกส์ ขนาดเล็กที่มีแรงกดไม่เกิน 10 ตันแบบมีดายน์คูชั่น

Design and Building of 10 Tons Hydraulic Press Machine with Die Cushion

ศรายุทธ นิลเนตร^{1,a}, เขมจิต เสนา^{1,b}, สุรศิริ ปิยะศิลป์¹

¹ภาควิชาวิศวกรรมเครื่องกล คณะวิศวกรรมศาสตร์ มหาวิทยาลัยขอนแก่น ขอนแก่น 40002

โทร. 085-0101808 โทรสาร 043-202849 อีเมล์^asarayut.n@kku.ac.th ^bskhema@kku.ac.th

บทคัดย่อ

บทความนี้นำเสนอการออกแบบและสร้างเครื่องเพรสขึ้นรูปโลหะแบบไฮดรอลิกส์ขนาดเล็กที่มีแรงกดไม่เกิน 10 ตันแบบมีดายน์คูชั่นเพื่อใช้ในงานวิจัยทางด้านการขึ้นรูปโลหะแผ่น(Sheet metal forming) สามารถปรับแรงกดที่ขนาดไม่เกิน 10 ตัน ปรับแรงจับยืดชิ้นงาน(Blank holder force) โดยใช้ดายน์คูชั่น อีกทั้งยังปรับความเร็วในการกดชิ้นงานได้ การออกแบบได้มีการคำนวณเพื่อตรวจสอบความแข็งแรง และความปลอดภัยในการใช้งานโดยใช้ระเบียบวิธีไฟไนต์เอลิเมนต์และใช้ซอฟแวร์ที่ช่วยในการออกแบบวงจรไฮดรอลิกส์ การคำนวณทั้งหมดได้จำลองภาระแรงกระทำที่เกิดขึ้นในขณะทำงาน คือภาระแรงที่กระทำต่อโครงสร้างและชิ้นส่วนต่างๆ ซึ่งผลการคำนวณความเด่นที่เกิดขึ้นมีค่าอยู่ในช่วงสภาวะยืดหยุ่น จากการศึกษาในครั้งนี้ทำให้ได้ เครื่องเพรสขึ้นรูปโลหะที่สามารถทดสอบการขึ้นรูปโลหะแผ่นในกระบวนการกดชิ้นรูปที่สามารถปรับค่าตัวแปร ความเร็วในการกด แรงกด และแรงจับยืดชิ้นงาน

คำหลัก:เครื่องเพรสไฮดรอลิกส์, เครื่องเพรสขึ้นรูปโลหะแผ่น, ระเบียบวิธีไฟไนต์เอลิเมนต์, ดายน์คูชั่น

Abstract

This article presents the design and the building a hydraulic press machine which have a diminutive size and the force is not exceed to 10 tons with Die cushion. This machine used for research in the sheet metal forming field. Blank holder and pressing speed can be adjusted by Die cushion. Its design and safety was calculated for the strength checking by Finite element method to simulated stress contour occurred in structure, the software was used to design the hydraulic system. All of calculation had simulated occurrence forces while working, load forces worked on its structure and components. The result of the simulation is less than the yield point. From this study, we got a hydraulic press machine that can be tested in a sheet metal forming and deep drawing process such as the speed of pressing, pressing force and Blank holder force.

Keywords: Hydraulic Press Machine, Sheet Metal Forming Machine, Finite Element Method, Die Cushion

1. บทนำ

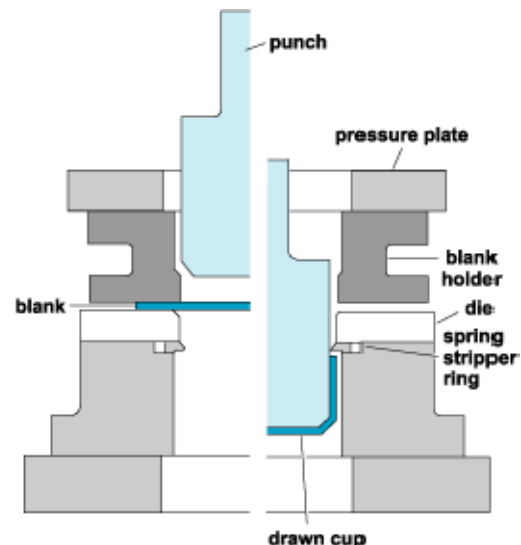
ในปัจจุบันการขึ้นรูปโลหะแผ่น (Sheet metal forming) มีความสำคัญอย่างมากในงานอุตสาหกรรม ต่างๆ ที่เกี่ยวข้องกับการผลิตชิ้นส่วนยานยนต์ อุปกรณ์เครื่องใช้ไฟฟ้า ชิ้นส่วนอุปกรณ์ทางการแพทย์ ภาชนะเครื่องครัวและอื่นๆ เพราะชิ้นส่วนที่ทำจากกระบวนการขึ้นรูปโลหะแผ่นจะมีน้ำหนักเบาและแข็งแรงดังนั้นอุตสาหกรรมเหล่านี้จำเป็นที่จะต้องใช้กรรมวิธีการขึ้นรูปโลหะแผ่นซึ่งจะมีอยู่หลายกรรมวิธี ด้วยกันและการดึงขึ้นรูป(Deep drawing) เป็นวิธีหนึ่งในการขึ้นรูปโลหะแผ่น ที่ได้รับความนิยมอย่างมาก การดึงขึ้นรูปมักจะประสบปัญหาเกี่ยวกับความเสียหายในกระบวนการผลิต เช่นเกิดการฉีกขาดของชิ้นงาน(Tearing) เกิดการย่นที่ขอบของชิ้นงาน(Wrinkling) เกิดการคอด(Necking) และการดีดกลับ(Spring-back) จึงมีการศึกษาเกี่ยวกับแนวทางการแก้ปัญหาดังกว่าเช่น การหาค่าที่เหมาะสมของแรงในการจับยึดชิ้นงาน(Blank holder force) ในแต่ละกระบวนการ การหาค่าสัมประสิทธิ์ความเสียดทานที่เหมาะสมที่ใช้ในการดึงขึ้นรูป การศึกษานิดของสารหล่อลื่น และตำแหน่งที่ใช้สารหล่อลื่น และถ้าชิ้นงานไม่เป็นแบบสมมาตรจะมีการนำวิธี ดรอว์บีด(Draw bead) มาใช้และนอกจากนี้ยังมีการศึกษา แรงจับยึดชิ้นงานที่แตกต่างกันในแต่ละตำแหน่งของขอบชิ้นงาน(Multi-point Blank holder forces) เพื่อควบคุมการให้ของวัสดุ เป็นแนวทางใหม่ที่มีการศึกษาและวิจัยเพื่อช่วยลดปัญหาที่เกิดกับกระบวนการผลิต ลดรอยย่นและการฉีกขาดของชิ้นงานขณะขึ้นรูป

ในการศึกษารั้งนี้ ได้พัฒนาเครื่องเพรสขึ้นรูปโลหะแบบไฮดรอลิกส์ขนาดเล็กที่มีแรงกดไม่เกิน 10 ตันแบบมีดယน์คูชั่น สามารถทดสอบเพื่อใช้งานวิจัยทางด้านการขึ้นรูปโลหะแผ่น การดึงขึ้นรูปลึกที่มีแรงจับยึดชิ้นงานที่ไม่เท่ากัน เพื่อควบคุมการให้อย่างวัสดุ โดยมีแผ่นจับยึดชิ้นงาน(Blank holder) และดယน์คูชั่น ซึ่งเครื่องเพรสขึ้นรูปโลหะแบบไฮดรอลิกส์ขนาดเล็กทั่วไปจะไม่มีดယน์คูชั่นจึงไม่มีแผ่นจับยึดชิ้นงานทำให้ไม่สามารถทำการดึงขึ้นรูปลึกได้

2. ทฤษฎีที่เกี่ยวข้อง

2.1 การดึงขึ้นรูปลึก (Deep drawing)

การดึงขึ้นรูปลึก (Deep Drawing) เป็นการขึ้นรูปชิ้นงานโดยไม่เกิดตะเข็บจะเริ่มจากการเตรียมโลหะแผ่น (Blank) และแม่พิมพ์ซึ่งประกอบด้วย 3 ส่วนคือ หัวกดชิ้นงาน (Punch) แม่พิมพ์ (Die) และตัวจับยึด (Blank Holder) ดังรูปที่ 1 หลังจากนั้นหัวกดชิ้นงานจะเคลื่อนที่ลงมาพำเพณไปสัมผัสถกับแม่พิมพ์ทำให้โลหะแผ่นมีรูปร่างตามแบบแม่พิมพ์แรงจากเครื่องเพรส จะถูกส่งผ่านพันซ์เพื่อให้โลหะไหล่ตัวเข้าไปในช่องด้วย ขณะเดียวกันก็มีแรงกดอยู่บนแผ่นจับชิ้นงานเพื่อควบคุมการให้ลดตัวของโลหะแผ่น



รูปที่ 1 แสดงลักษณะของกระบวนการดึงขึ้นรูปลึก

2.2 แรงกดบนแผ่นจับชิ้นงาน

ขณะที่ทำการดึงขึ้นรูปจะเกิดความเดันอัดในแนวเส้นรอบวงที่บริเวณปีกของถ้วย การใช้แผ่นจับชิ้นงานกดบนบริเวณนี้จะช่วยลดปัญหาการเกิดรอยย่นซึ่งขนาดของแรงกดที่ใช้ต้องมีความเหมาะสม ถ้าแรงกดน้อยเกินไป จะส่งผลให้เกิดรอยย่นบนปีก และเกิดความเสียหายกับชิ้นงาน ในทางตรงกันข้าม ถ้าใช้แรงกดบนแผ่นจับชิ้นงานมากเกินไป จะทำให้เกิดการฉีกขาดบริเวณผนังถ้วยบริเวณเหนือรัศมีพันซ์ขึ้นมาเล็กน้อย

ขนาดของแรงดันในการกดแผ่นจับชิ้นงานที่เหมาะสมคำนวณได้จากสมการที่ 1

$$P_{BH} = 10^{-3} C \left[(\beta - 1)^3 + \frac{0.005 d_0}{T} \right] \sigma_u \quad (1)$$

เมื่อ

P_{BH} คือแรงดันในการกดแผ่นจับชิ้นงาน (N/mm^2)

$\beta = \frac{d_0}{d_1}$ คืออัตราส่วนการดึงขึ้นรูป

d_0 คือขนาดเส้นผ่าศูนย์กลางของแผ่นโลหะเปล่า (mm)

T คือความหนาของแผ่นโลหะ (mm)

σ_u คือค่าความแข็งแรงสูงสุดของวัสดุ (Ultimate Tensile Strength) (N/mm^2)

C คือค่าคงที่ มีค่าระหว่าง 2-3

ดังนั้น แรงกดบนแผ่นจับชิ้นงานคำนวณได้จาก สมการที่ 2

$$F_{BH} = P_{BH} \times A_{BH} \quad (2)$$

เมื่อ

F_{BH} คือแรงกดบนแผ่นจับชิ้นงาน (N)

A_{BH} คือพื้นที่บริเวณปีกที่แผ่นจับชิ้นงานกดอยู่ (mm^2)

2.3 แรงสูงสุดในการดึงขึ้นรูป

Siebel และ Beisswanger ได้เสนอวิธีการคำนวณ ค่าแรงสูงสุดในการขึ้นรูปดังสมการที่ 3

$$F_{max} = \pi d_m T \left[1.1 \frac{1.3 \sigma_u}{\eta_{def}} \left(\ln \frac{d_0}{d_1} - 0.25 \right) \right] \quad (3)$$

เมื่อ

F_{max} คือแรงสูงสุดในการดึงขึ้นรูป (N)

d_m คือเส้นผ่านศูนย์กลางเฉลี่ยของถ้วย (mm)

T คือความหนาของแผ่นโลหะ (mm)

σ_u คือค่าความแข็งแรงสูงสุดของวัสดุ (N/mm^2)

d_0 คือขนาดเส้นผ่านศูนย์กลางของแผ่นโลหะเปล่า (mm)

d_1 คือขนาดเส้นผ่านศูนย์กลางของพื้นช์ (mm)

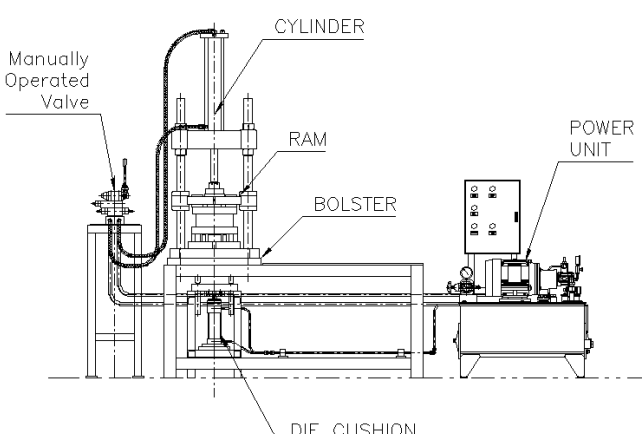
η_{def} คือค่าประสิทธิภาพในการดึงขึ้นรูป กำหนดให้มีค่าระหว่าง 0.5 – 0.7

3. การออกแบบเครื่องเพรสแบบไฮดรอลิกส์

เครื่องเพรสจะมีส่วนประกอบที่สำคัญของเครื่องประกอบไปด้วยระบบอกรถูกไฮดรอลิกส์ 2 ชุดคือ อยู่ใต้เบลเตอร์ของเครื่องเพรสอยู่ 1 ตัว ที่ทำหน้าที่เป็นดายน้ำซึ่งระบบสามารถที่จะควบคุมความดันและอีกด้วยอุปกรณ์ที่ด้านบนของเครื่องที่เป็นระบบอกรหลัก เพื่อที่จะส่งแรงไปยังแม่เหล็ก(RAM) สามารถปรับความดันและความเร็วในการกดได้

หลักการทำงานของเครื่องเพรสคือ พื้นช์จะยึดติดอยู่กับโบลส์เตอร์ทางด้านล่างของเครื่อง และด้วยจะยึดติดอยู่กับส่วนบนหรือแม่เหล็กของเครื่อง แม่จะเคลื่อนที่ลงพำนท์ตามเข้ากับพื้นช์เพื่อขึ้นรูปชิ้นงาน ส่วนแรงที่ใช้ในการจับชิ้นงานจะถูกกำหนดโดยการตั้งแรงดันด้านผ่านแกนส่งแรงจากระบบอกรไฮดรอลิกส์ ด้านล่างหรือด้วยน้ำคุ้น การทำงานของระบบอกรไฮดรอลิกส์ สามารถควบคุมแรงดันให้คงที่และสามารถปรับตั้งได้เพื่อหาความเหมาะสมในการขึ้นรูปโลหะ

ส่วนประกอบหลักๆ ของเครื่องเพรสไฮดรอลิกส์ ดังรูปที่ 2

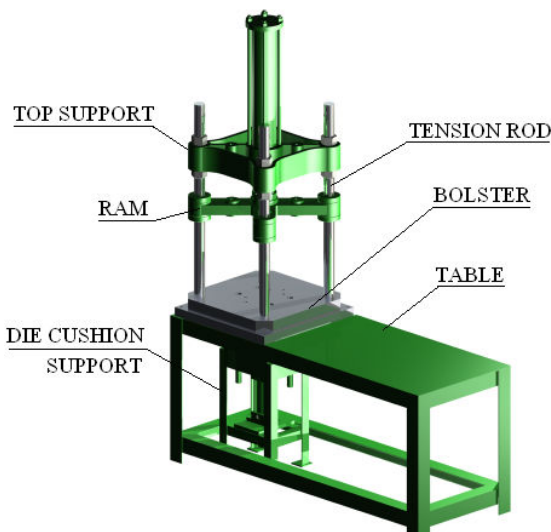


รูปที่ 2 เครื่องเพรสขึ้นรูปโลหะแบบไฮดรอลิกส์

ในการออกแบบเครื่องเพรสชีนรูปโลหะแบบไฮดรอลิกส์ขนาดเล็กที่มีแรงกดไม่เกิน 10 ตันแบบมีดယน์คูชั่น ได้คำนึงถึงวิธีการที่จะสามารถปรับแรงกดที่ขนาดไม่เกิน 10 ตัน ปรับแรงจับยึดชิ้นงาน (Blank holder force) โดยใช้ดယน์คูชั่น อีกทั้งยังปรับความเร็วในการกดชิ้นงานได้ เพื่อศึกษาถึงกระบวนการและนำไปสู่การหาขนาดของแรงกด ความตันในการจับยึดชิ้นงานที่เหมาะสมที่สุดของกระบวนการดึงชีนรูปลีก

3.1 การสร้างแบบจำลองทางคอมพิวเตอร์

แบบจำลองทางคอมพิวเตอร์(CAD Model) ของโครงสร้างและชิ้นส่วนหลัก ที่จะนำมาวิเคราะห์ทางเบี่ยบวิธีไฟไนต์เอลิเมนต์ ประกอบไปด้วย BOLSTER, RAM, TENSION ROD, DIE CUSHION SUPPORT, TOP SUPPORT และ TABLE โดยโครงสร้างและชิ้นส่วนหลักได้ออกแบบ ดังรูปที่ 3

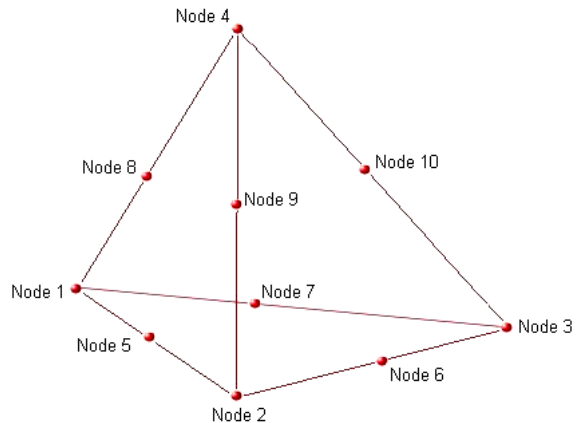


รูปที่ 3 แบบจำลองทางคอมพิวเตอร์ของโครงสร้างและชิ้นส่วนหลักๆ

3.2 การสร้างแบบจำลองไฟไนต์เอลิเมนต์

การออกแบบโครงสร้างเครื่องได้นำระเบียบวิธีไฟไนต์เอลิเมนต์เพื่อหาความเค้นเนื้องจากแรงที่เกิดขึ้นกับโครงสร้างและชิ้นส่วนหลักๆ ขณะรับแรง แรงที่

ใช้ในการวิเคราะห์คือแรงจากการกดของระบบอกรูปไฮดรอลิกส์ขนาด 10 ตัน และการสร้างแบบจำลองไฟไนต์เอลิเมนต์ของชิ้นส่วนเครื่องเพรสชีนรูปโลหะได้เลือกใช้เอลิเมนต์ทรงจัตุรมุข 10 โนด (10-Node Tetrahedral) ดังแสดงในรูปที่ 4



รูปที่ 4 เอลิเมนต์ทรงจัตุรมุข 10 โนด

3.3 คุณสมบัติของวัสดุ

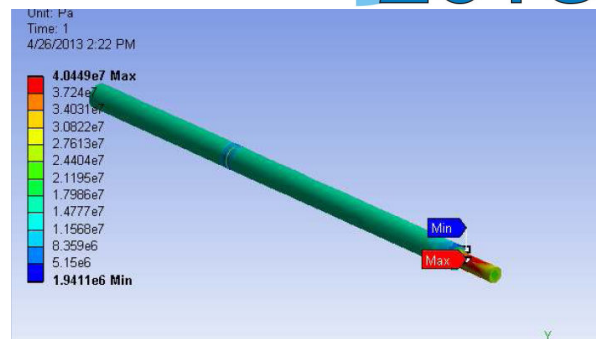
การวิเคราะห์ปัญหาทางไฟไนต์เอลิเมนต์ ปัญหาทางกลศาสตร์ของแข็ง จำเป็นต้องกำหนดคุณสมบัติของวัสดุให้กับชิ้นส่วนต่างๆ โดยคุณสมบัติของวัสดุที่ใช้ใน ทางกลศาสตร์ของแข็ง เป็นปัญหาในช่วงยืดหยุ่น(Elasticity Problem) และกำหนดให้เป็นแบบ Isotropic ส่วนคุณสมบัติของวัสดุที่ใช้ในการวิเคราะห์ค่าความเค้นหลัก(U.T.S.) ค่าความเค้นคราก(Y.S.) ค่าคงที่ของการยืดหยุ่น(Young's modulus) และอัตราส่วนปัวซอง (Poisson's ratio) ได้แสดงในตารางที่ 1 และตารางที่ 2

ตารางที่ 1 คุณสมบัติของวัสดุที่ใช้ในการวิเคราะห์ปัญหาทางกลศาสตร์ของแข็งของวัสดุ JIS SS400

U.T.S. (N/mm ²)	Y.S. (N/mm ²)	Young's modulus(GPa)	Poisson's ratio
400	245	200	0.26

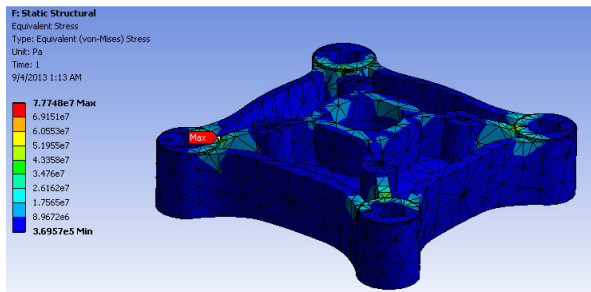
ตารางที่ 2 คุณสมบัติของวัสดุที่ใช้ในการวิเคราะห์ปัญหาทางกลศาสตร์ของแข็งของวัสดุ JIS S50C

U.T.S. (N/mm ²)	Y.S. (N/mm ²)	Young's modulus(GPa))	Poisson's ratio
650	355	210	0.27

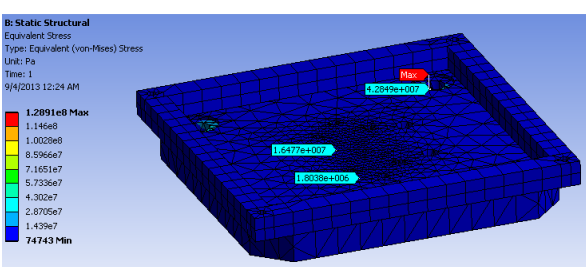


3.4 ผลลัพธ์ที่ได้จากการวิเคราะห์เพื่อหาความเด่น

การวิเคราะห์ด้วยระเบียนวิธีไฟน์เนิร์ส์เอลิเม้นต์เพื่อหาความเด่นเนื่องจากภาระแรงที่เกิดขึ้นกับชิ้นส่วนโดยความเด่นที่ได้นั้นจะเป็น ความเด่นของมิสเซส (Von mises stress) ความเด่นที่เกิดขึ้นมีค่าอยู่ในช่วงสภาวะยืดหยุ่นและมีค่าความปลดภัยมากกว่า 2 ดังแสดงในรูปที่ 5,6,7,8 ซึ่งเป็นชิ้นส่วนสำคัญในการรับแรง

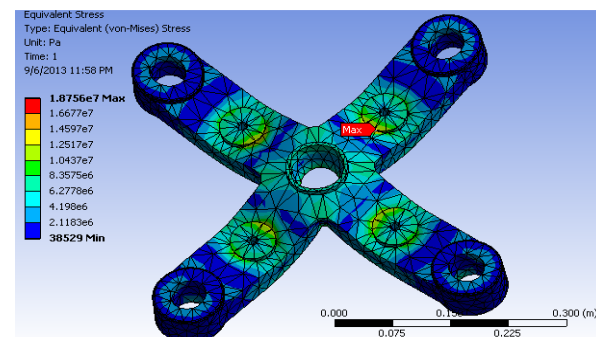


รูปที่ 5 ความเด่นที่เกิดขึ้นบนชิ้นส่วน TOP SUPPORT ซึ่งมีจำนวนโนดที่ใช้ 8721 และจำนวนเอลิเม้นต์ที่ใช้ 4642



รูปที่ 6 ความเด่นที่เกิดขึ้นบนชิ้นส่วน BOLSTER ซึ่งมีจำนวนโนดที่ใช้ 31594 และจำนวนเอลิเม้นต์ที่ใช้ 16460

รูปที่ 7 ความเด่นที่เกิดขึ้นบนชิ้นส่วน TENSION ROD ซึ่งมีจำนวนโนดที่ใช้ 1777 และจำนวนเอลิเม้นต์ที่ใช้ 934



รูปที่ 8 ความเด่นที่เกิดขึ้นบนชิ้นส่วน RAM ซึ่งมีจำนวนโนดที่ใช้ 12612 และจำนวนเอลิเม้นต์ที่ใช้ 6750

3.5 การออกแบบระบบไฮดรอลิกส์

ในการเลือกระบบที่ใช้ไฮดรอลิกส์นั้นจะต้องรู้พื้นที่หน้าตัดที่นำมันไฮดรอลิกส์จะไหลเข้าไปในกระบวนการเพื่อทำให้เกิดแรงกด 10 ตันตามที่ต้องการ สูตรการคำนวณหาพื้นที่หน้าตัดของระบบสูบ ดังสมการที่ 4

$$A = \frac{F}{P} \quad (4)$$

เมื่อ

A คือพื้นที่หน้าตัด (m^2)

F คือแรงกดของระบบสูบ (kN)

P คือความดันในระบบสูบ (Bar)

จากการคำนวณที่ความดัน 150 Bar จะได้ขนาด
ระบบอุกสูบ Bore diameter ที่ 10 cm และขนาด Rod
diameter ที่ 5.6 cm

การคำนวณขนาดของปั๊มไฮดรอลิกส์หาได้จาก
อัตราการไหล โดยจะสามารถหาได้จากการสมการที่ 5

$$Q = VA \quad (5)$$

เมื่อ

Q คืออัตราการไหล (LPM)

V คือความเร็วของระบบอุกสูบไฮดรอลิกส์ (cm/sec)

A คือพื้นที่หน้าตัดของลูกสูบ (cm²)

จากการคำนวณขนาดของปั๊มไฮดรอลิกส์ ที่
ความเร็วของระบบอุกสูบไฮดรอลิกส์ที่ 3 cm/sec จะได้
ขนาดของปั๊มไฮดรอลิกส์ 13 LPM

กำลังที่ใช้ในการขับปั๊ม (Drive Power) หรือขนาด
ของมอเตอร์ไฟฟ้าที่ใช้ขับปั๊มนั้นสามารถหาได้ จาก
flow rate x pressure ที่ใช้งาน ดังสมการที่ 6

$$P_m = \frac{Q \times P}{600 \times 0.746} \quad (6)$$

เมื่อ

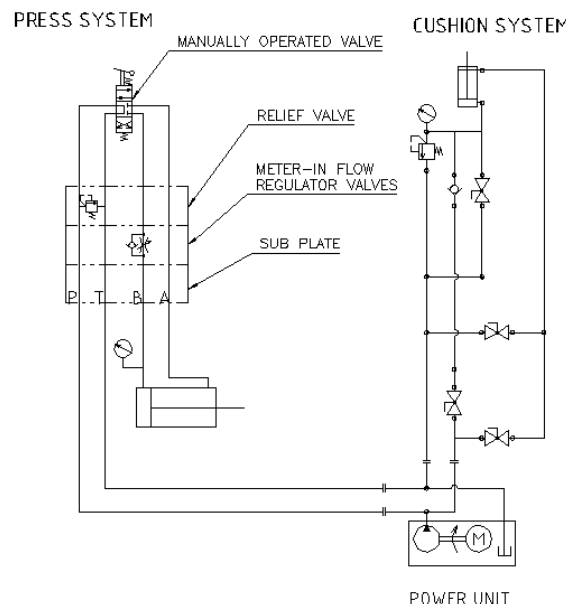
P_m คือกำลังของมอเตอร์ (Hp)

Q คืออัตราการไหล (LPM)

P คือความดันในระบบอุกสูบ (Bar)

จากการคำนวณหากำลังที่ใช้ในการขับปั๊ม (Drive Power) หรือขนาดของมอเตอร์ไฟฟ้าที่ 5 hp.

ในการออกแบบระบบไฮดรอลิกส์ ส่วนของระบบ
ด้วยคุณภาพที่ดีออกแบบให้สามารถที่จะควบคุมการไหล
ของวัสดุในกระบวนการตีนเขี้ยวรูบลิก โดยสามารถปรับ
ความดันในระบบด้วยคุณภาพได้ ดังรูปที่ 9



รูปที่ 9 วงจรระบบไฮดรอลิกส์ที่ชี้งสามารถปรับความ
ดันในแต่ละส่วนได้

4. บทสรุปการศึกษา

โดยความเด่นที่ได้นั้นจะเป็นความเด่นของมิสเซส (Von mises stress) และความเด่นแกน 3 (Max. Principal Stress) สูงสุด

ภาระแรงที่กระทำต่อโครงสร้างและชิ้นส่วนต่างๆ ซึ่งผลการคำนวณความเด่นที่เกิดขึ้นมีค่าอยู่ในช่วง สภาวะยึดหยุ่นและมีค่าความปลดภัยมากกว่า 2

ในการศึกษารังนี้ได้ใช้ระเบียบวิธีไฟไนต์เอลิเมนต์เพื่อวิเคราะห์ทำการเปลี่ยนแปลงรูปร่างที่เกิดขึ้น จากการเด่นที่เกิดขึ้นผลการคำนวณดังกล่าวทำให้สามารถช่วยในการออกแบบตามหลักการทาง วิศวกรรมจากผลการคำนวณทุกรายการที่พบร่วมกับความเด่นแบบวอนมิสเซส (Von Mises stress) และความเด่นแกน 3 (Max. Principal Stress) สูงสุดเกิดขึ้นที่ตำแหน่ง แกนรับแรงดึง แต่ยังไม่ทำให้เกิดความเสียหายในการใช้งาน

จากการศึกษานี้ทำให้ได้เครื่องเพรสชั่นรูปโลหะแบบไฮดรอลิกส์ขนาดเล็กที่มีแรงกดไม่เกิน 10 ตันแบบมีด้วยคุณภาพเพื่อใช้ในงานวิจัยทางด้านการขึ้นรูปโลหะแผ่นหรืองานอื่นๆ ที่เหมาะสมโดยใช้ต้นทุนต่ำ

5. ข้อเสนอแนะ

นอกจากการออกแบบและสร้างแล้วยังต้องมีการทดสอบจริงของเครื่องเพรสขึ้นรูปโลหะแบบไฮดรอลิกส์ต่อไป นอกจากนั้นยังสามารถปรับเปลี่ยนโครงสร้างของเครื่องและแม่พิมพ์ เพื่อศึกษาในจุดต่างๆ เช่นการเปลี่ยนด้วยน้ำคูชั่นเป็นแบบหลายจุด (Multi-point Blank holder forces) ศึกษาแรงแรงเสียดทาน ดรอปบีด การดีดตัวกลับ ได้ต่อไป

6. กิตติกรรมประกาศ

ขอぶคุณภาควิชาชีวกรรมเครื่องกลและวิศวกรรมศาสตร์มหาวิทยาลัยขอนแก่นที่ช่วยทางด้านเครื่องมือในการศึกษารังนี้

ขอぶคุณโครงการพัฒนานักวิจัยใหม่มหาวิทยาลัยขอนแก่น สำหรับทุนในการศึกษารังนี้

7. เอกสารอ้างอิง

7.1 บทความจากวารสาร (Journal)

- [1] Leonid B. Shulkin, Ronald A. Postearob, Mustafa A. Ahmetoglu, Gary L. Kinzel, Taylan Altanc. Blank holder force (BHF) control in viscous pressure forming (VPF) of sheet metal. Journal of Materials Processing Technology 98 (2000) 7-16.
- [2] Lin Wang, T.C. Lee. Controlled strain path forming process with space variant blank holder force using RSM method. Journal of Materials Processing Technology 167 (2005) 447–455.
- [3] H. Ibrahim Demirci, Mustafa Yasar, Kemal Demiray, Mehmet Karal. The theoretical and experimental investigation of blank holder forces plate effect in deep drawing process of AL 1050 material. Materials and Design 29 (2008) 526–532
- [4] Wang Wu-rong, Chen Guan-long, Lin Zhong-qin. The effect of binder layouts on the sheet

metal formability in the stamping with Variable Blank Holder Force. Journal of Materials Processing Technology 210 (2010) 1378–1385

7.2 บทความจากเอกสารประกอบการประชุม (Proceedings)

- [1] วิเชียรเลื่อน เครือวัลย์, ศุภเอกสาร ประมูลมาก (2553). การศึกษาค่าสัมประสิทธิ์เสียดทานที่มีผลต่องานขึ้นรูปถ่วาย, การประชุมวิชาการทางวิศวกรรมศาสตร์มหาวิทยาลัยสงขลานครินทร์ครั้งที่ 8.

7.3 รายงาน

- [1] คอมสันต์ วงศ์ก้าพสินธุ์ (2553). การศึกษากระบวนการดึงขึ้นรูปลักษณะของแผ่นไฟฟานีโอเมต์โดยระเบียบวิธีไฟฟ้าอิเล็กทรอนิกส์, วิทยานิพนธ์ปริญญาวิศวกรรมศาสตร์มหาบัณฑิต, มหาวิทยาลัยขอนแก่น.
- [2] นายไม่ตรี กมลรัตนพิสุทธิ์ (2550). การวิเคราะห์ปัญหาการนิรภัยและรอยย่นในงานขึ้นรูปโลหะโดยใช้วิธีไฟฟ้าอิเล็กทรอนิกส์, วิทยานิพนธ์ปริญญาวิศวกรรมศาสตร์มหาบัณฑิต, สาขาวิชาชีวกรรมการผลิต, มหาวิทยาลัยเทคโนโลยีพระจอมเกล้าพระนครเหนือ.

7.4 หนังสือ

- [1] ปราโมทย์ เดชะอาไฟ (2547). ไฟฟ้าอิเล็กทรอนิกส์ในงานวิศวกรรม, สำนักพิมพ์แห่งจุฬาลงกรณ์, กรุงเทพฯ.
- [2] วริทธิ์ อึ้งภากรณ์ และชาญ ณัดงาน (2522). การออกแบบเครื่องจักรกล 1, กรุงเทพฯ:ชีเอ็ดยูเคชั่น.
- [3] ขวัญชัย สินทิพย์สมบูรณ์ และปานเพชร ชินนิทร (2543). ไฮดรอลิกอุตสาหกรรม, กรุงเทพฯ:ชีเอ็ดยูเคชั่น.
- [4] วารุณี เปรมานันท์, พงศ์พันธ์ แก้วตาทิตย์. (2552). งานขึ้นรูปโลหะ, แม่พิมพ์โลหะแผ่น, กรุงเทพฯ : สมาคมส่งเสริมเทคโนโลยี (ไทย-ญี่ปุ่น).